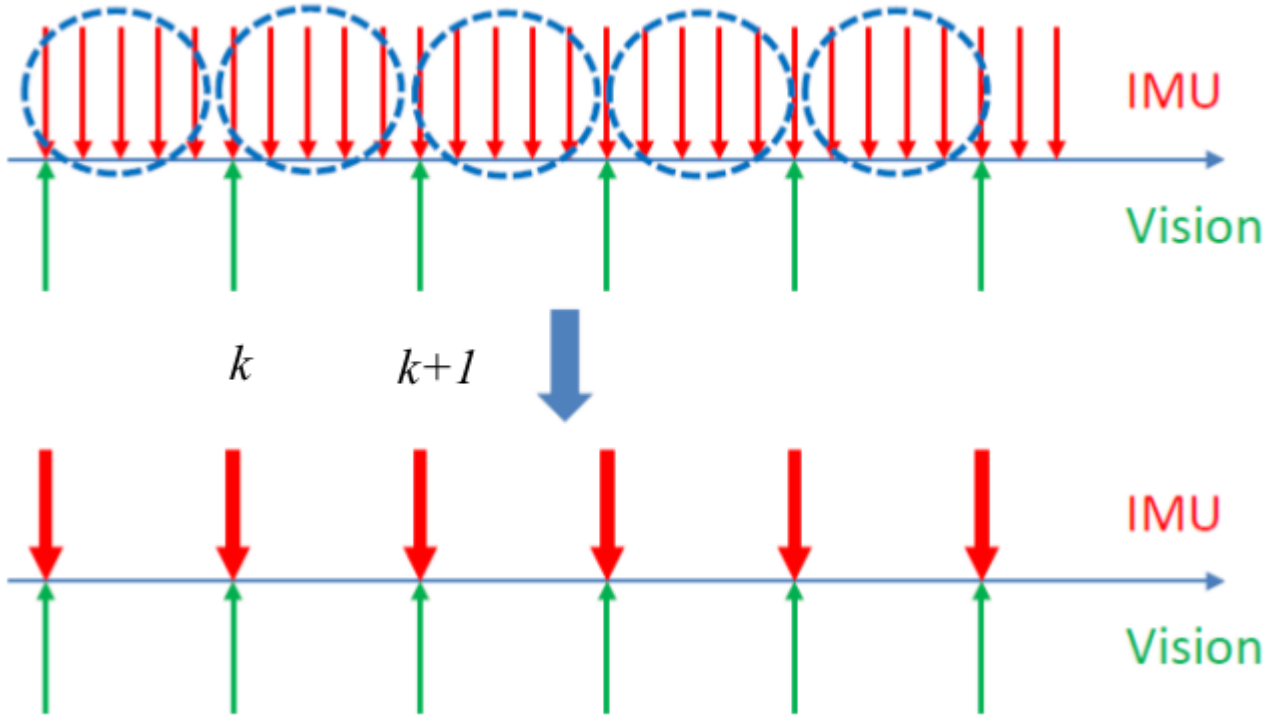


IMU预积分及误差状态动力学

On-Manifold预积分指的是通过将选定关键帧之间的IMU测量积分为单个相对运动约束,避免在优化问题中出现太多的IMU优化变量。如下图所示：



1 预备知识

1.1 IMU测量

真实的加速度 a_t 和真实的角速度 w_t (世界坐标系)从IMU的含噪声和重力的测量数据 a_m 和 w_m 获取（机体坐标系，一般跟IMU坐标系相同）：

$$a_m = R_B^{W^T} (a_t^W + g^W) + b_{a_t} + n_a \quad (1)$$

$$w_m = w_t^W + b_{w_t} + n_w \quad (2)$$

这里加上重力向量 $g^w = [0, 0, g]^T$ ，是一个矢量运算。因此真实的测量为：

$$a_t^W = R_B^W (\hat{a}_t - b_{a_t} - n_a) - g^W \quad (3)$$

$$w_t^W = \hat{w}_t - b_{w_t} - n_w \quad (4)$$

这里， \hat{a}_t, \hat{w}_t 是IMU坐标系下的读数。我们假设IMU加速度和陀螺仪的测量加性噪声是高斯的：

$$n_a \sim \mathcal{N}(0, \sigma_a^2), n_w \sim \mathcal{N}(0, \sigma_w^2) \quad (5)$$

加速度和陀螺仪的偏差用随机游走模型表示，其导数是高斯的：

$$n_{b_a} \sim \mathcal{N}(0, \sigma_{b_a}^2), n_{b_w} \sim \mathcal{N}(0, \sigma_{b_w}^2) \quad (6)$$

$$\dot{b}_{a_t} = n_{b_a}, \dot{b}_{w_t} = n_{b_w} \quad (7)$$

1.2 PVQ的连续形式

给定两帧图像 b_k 和 b_{k+1} ，其位置，速度，方向状态量可以通过在世界坐标系中对时间间隔 $[k, k+1]$ 内的IMU测量积分得到（这里是连续形式）：

$$\begin{aligned} p_{b_{k+1}}^W &= p_{b_k}^W + v_{b_k}^W \Delta t_k + \iint_{t \in [t_k, t_{k+1}]} (R_B^W (\hat{a}_t - b_{a_t} - n_a) - g^W) dt^2 \\ v_{b_{k+1}}^W &= v_{b_k}^W + \int_{t \in [t_k, t_{k+1}]} (R_B^W (\hat{a}_t - b_{a_t} - n_a) - g^W) dt \\ q_{b_{k+1}}^W &= q_{b_k}^W \otimes \int_{t \in [t_k, t_{k+1}]} \frac{1}{2} \Omega(\hat{w}_t - b_{w_t} - n_w) q_t^{b_k} dt \end{aligned} \quad (8)$$

这里

$$\Omega(w) = \begin{vmatrix} -[w]_{\times} & w \\ -w^T & 0 \end{vmatrix}, [w]_{\times} = \begin{vmatrix} 0 & -w_x & w_y \\ w_z & 0 & -w_x \\ -w_y & w_x & 0 \end{vmatrix} \quad (9)$$

1.3 PVQ的中值法离散形式

这里先回顾下两种最基本的数值积分方法：欧拉法和中值法。欧拉法假设在时间间隔内状态变量的导数 $f(\cdot)$ 是常数，因此：

$$x_{n+1} = x_n + \Delta t f(t_n, x_n) \quad (10)$$

中值法假设状态变量在时间间隔内的导数是区间中点处的导数，并进行一次迭代计算状态变量在中点处的值：

$$x_{n+1} = x_n + \Delta t f(t_n + \frac{1}{2}\Delta t, \frac{1}{2}\Delta t f(t_n, x_n)) \quad (11)$$

这个中值法可以通过下面两步解释。首先，用欧拉法积分到中点处，

$$k_1 = f(t_n, x_n) \quad (12)$$

$$x(t_n + \frac{1}{2}\Delta t) = x_n + \frac{1}{2}\Delta t k_1 \quad (13)$$

然后再求在中点处的导数 k_2 ：

$$k_2 = f(t_n + \frac{1}{2}\Delta t, x(t_n + \frac{1}{2}\Delta t)) \quad (14)$$

因此得到：

$$x_{n+1} = x_n + \Delta t k_2 \quad (15)$$

下面正式给出两个相邻时刻中值积分形式：

$$\begin{aligned} p_{b_{k+1}}^W &= p_{b_k}^W + v_{b_k}^W \Delta t + \frac{1}{2} \bar{a}_m \Delta t^2 \\ v_{b_{k+1}}^W &= v_{b_k}^W + \bar{a}_m \Delta t \\ q_{b_{k+1}}^W &= q_{b_k}^W \otimes \left| \frac{1}{\frac{1}{2} \bar{w}_m \Delta t} \right| \end{aligned} \quad (16)$$

其中，

$$\begin{aligned} \bar{a}_m &= \frac{1}{2} [R_k(a_k - b_{a_k}) - g^W + R_{k+1}(a_{k+1} - b_{a_k} - g^W)] \\ \bar{w}_m &= \frac{1}{2}(w_k + w_{k+1}) - b_{w_k} \end{aligned} \quad (17)$$

注意：这里均没有考虑IMU加速度和陀螺仪的噪声。

1.4 误差状态动力学

我们希望在一个惯性系统中通过积分含零偏和噪声的IMU测量数据写出误差状态方程。但是这个积分过程会随着时间的增长而发生漂移。为了避免这种漂移，通常会融合一些绝对位置信息，比如GPS或者vision。那么我们为啥要写出误差状态动力学呢？

- 1.方向的误差状态是最小的，可以避免过度参数化相关的问题，以及由此带来的相关协方差矩阵奇异性的风险。
- 2.误差状态系统总是在远点附近运行，因此远离可能的参数奇点，框架锁或类似问题，从而保证线性化有效性在任何时候都有效。
- 3.误差状态量通常是很小的量，这意味着高阶项可以忽略。这使得雅各比的计算会比较容易和快速。

2 IMU预积分

从上面的积分项，可以看出IMU状态更新需要第K帧世界坐标系下的旋转，位置和速度。当在优化过程中，这些状态变量会随着优化迭代进行发生变化，此时就需要重新积分两帧之间的IMU测量。为了避免重复积分，这里采用预积分的思想：即将参考坐标系从世界坐标系转换到局部坐标系,在式子（8）左右两边同时左乘 $R_W^{b_k}$ ：

$$\begin{aligned}
 R_W^{b_k} p_{b_{k+1}}^W &= R_W^{b_k} (p_{b_k}^W + v_{b_k}^W \Delta t_k - \frac{1}{2} g^W \Delta t_k^2) + \alpha_{b_{k+1}}^{b_k} \\
 R_W^{b_k} v_{b_{k+1}}^W &= R_W^{b_k} (v_{b_k}^W - g^W \Delta t_k) + \beta_{b_{k+1}}^{b_k} \\
 q_W^{b_k} \otimes q_{b_{k+1}}^W &= \gamma_{b_{k+1}}^{b_k}
 \end{aligned} \tag{18}$$

其中，

$$\begin{aligned}
 \alpha_{b_{k+1}}^{b_k} &= \iint_{t \in [t_k, t_{K+1}]} R_t^{b_k} (\hat{a}_t - b_{a_t} - n_a) dt^2 \\
 \beta_{b_{k+1}}^{b_k} &= \int_{t \in [t_k, t_{K+1}]} R_t^{b_k} (\hat{a}_t - b_{a_t} - n_a) dt \\
 \gamma_{b_{k+1}}^{b_k} &= \int_{t \in [t_k, t_{k+1}]} \frac{1}{2} \Omega (\hat{w}_t - b_{w_t} - n_w) \gamma_t^{b_k} dt
 \end{aligned} \tag{19}$$

由此可以看到把 b_k 当做参考坐标系后，积分项可以单独通过IMU的测量得到。当IMU测量的bias估计改变时，如果改变很小，通过积分项关于偏差的一阶近似来调整 $\alpha_{b_{k+1}}^{b_k}, \beta_{b_{k+1}}^{b_k}, \gamma_{b_{k+1}}^{b_k}$ 。由于bias也是需要优化的变量，如果变化太大，则需要重新积分。这里假设预积分的变化量与bias是线性关系：

$$\begin{aligned}
\alpha_{b_{k+1}}^{b_k} &\approx \hat{\alpha}_{b_{k+1}}^{b_k} + J_{b_a}^\alpha \delta b_a + J_{b_w}^\alpha \delta b_w \\
\beta_{b_{k+1}}^{b_k} &\approx \hat{\beta}_{b_{k+1}}^{b_k} + J_{b_a}^\beta \delta b_a + J_{b_w}^\beta \delta b_w \\
\gamma_{b_{k+1}}^{b_k} &= \hat{\gamma}_{b_{k+1}}^{b_k} \otimes \left| \frac{1}{\frac{1}{2} J_{b_w}^\gamma \delta b_w} \right|
\end{aligned} \tag{20}$$

在一开始， $\alpha_{b_k}^{b_k}, \beta_{b_k}^{b_k}$ 是0， $\gamma_{b_k}^{b_k}$ 是单位四元数。注意加性噪声 n_w, n_a 是未知的，实现中当做0处理。IMU预积分的欧拉法更新步骤如下：

$$\begin{aligned}
\hat{\alpha}_{i+1}^{b_k} &= \hat{\alpha}_i^{b_k} + \hat{\beta}_i^{b_k} \delta t + \frac{1}{2} R(\hat{\gamma}_i^{b_k}) (\hat{\alpha}_i - b_{a_i}) \delta t^2 \\
\hat{\beta}_{i+1}^{b_k} &= \hat{\beta}_i^{b_k} + R(\hat{\gamma}_i^{b_k}) (\hat{\alpha}_i - b_{a_i}) \delta t \\
\hat{\gamma}_{i+1}^{b_k} &= \hat{\gamma}_i^{b_k} \otimes \hat{\gamma}_{i+1}^i = \hat{\gamma}_i^{b_k} \otimes \left| \frac{1}{\frac{1}{2} (\hat{w}_i - b_{w_i}) \delta t} \right|
\end{aligned} \tag{21}$$

i 是对应时间间隔 $[t_k, t_{k+1}]$ 的离散时刻， δt 是两个IMU测量 i 和 $i+1$ 的时间间隔。

然后给出IMU预积分的中值法更新步骤：

$$\begin{aligned}
\hat{\alpha}_{i+1}^{b_k} &= \hat{\alpha}_i^{b_k} + \hat{\beta}_i^{b_k} \delta t + \frac{1}{2} \overline{\hat{\alpha}} \delta t^2 \\
\hat{\beta}_{i+1}^{b_k} &= \hat{\beta}_i^{b_k} + \overline{\hat{\beta}} \delta t \\
\hat{\gamma}_{i+1}^{b_k} &= \hat{\gamma}_i^{b_k} \otimes \hat{\gamma}_{i+1}^i = \hat{\gamma}_i^{b_k} \otimes \left| \frac{1}{\frac{1}{2} \overline{\hat{w}} \delta t} \right|
\end{aligned} \tag{21}$$

其中，

$$\bar{\hat{\alpha}} = \frac{1}{2} [q_i (\hat{\alpha}_i - b_{a_i}) + q_{i+1} (\hat{\alpha}_{i+1} - b_{a_{i+1}})]$$

$$\bar{\hat{w}} = \frac{1}{2} (\hat{w}_i + \hat{w}_{i+1}) - b_{w_i} \quad (22)$$

2.1 连续时间下的误差动力学

为简化起见，忽略了所有高阶项和重力的变化。参考《四元数数学基础》5.3节。

$$\begin{aligned} \dot{\delta p} &= \delta v \\ \dot{\delta v} &= -R[\hat{a}_t - b_a]_{\times} \delta \theta - R \delta b_a - R n_a \\ \dot{\delta \theta} &= -[\hat{w}_t - b_w]_{\times} \delta \theta - \delta b_w - w_n \\ \dot{b_a} &= n_{b_a} \\ \dot{b_w} &= n_{b_w} \end{aligned} \quad (23)$$

这里 $\delta p, \delta v, \delta \theta$ 对应IMU预积分中的 $\delta \alpha, \delta \beta, \delta \gamma$ 分别对应位置，速度，方向的变化量。其中方向的变化量用 $\delta \theta$ 来表示。可以写出：

$$\begin{bmatrix} \delta \dot{\alpha}_t^{b_k} \\ \delta \dot{\beta}_t^{b_k} \\ \delta \dot{\theta}_t^{b_k} \\ \delta \dot{b}_{a_t} \\ \delta \dot{b}_{w_t} \end{bmatrix} = \begin{bmatrix} 0 & I & 0 & 0 & 0 \\ 0 & 0 & -R_t^{b_k} [\hat{a}_t - b_{a_t}]_{\times} & -R_t^{b_k} & 0 \\ 0 & 0 & -[\hat{w}_t - b_{w_t}]_{\times} & 0 & -I \\ 0 & 0 & 0 & 0 & 0 \\ 0 & 0 & 0 & 0 & 0 \end{bmatrix} \begin{bmatrix} \delta \alpha_t^{b_k} \\ \delta \beta_t^{b_k} \\ \delta \theta_t^{b_k} \\ \delta b_{a_t} \\ \delta b_{w_t} \end{bmatrix}$$

$$+ \begin{vmatrix} 0 & 0 & 0 & 0 \\ -R_t^{b_k} & 0 & 0 & 0 \\ 0 & -I & 0 & 0 \\ 0 & 0 & I & 0 \\ 0 & 0 & 0 & I \end{vmatrix} \begin{vmatrix} n_a \\ n_w \\ n_{b_a} \\ n_{b_w} \end{vmatrix} = F_t \delta z_t^{b_k} + G_t n_t \quad (24)$$

2.2 连续时间下误差的协方差及雅各比

上式 (24) 可以简化为：

$$\delta \dot{z}_t^{b_k} = F_t \delta z_t^{b_k} + G_t n_t \quad (25)$$

根据导数的定义：

$$\delta \dot{z}_t^{b_k} = \lim_{\delta t \rightarrow 0} \frac{\delta z_{t+\delta t}^{b_k} - \delta z_t^{b_k}}{\delta t}$$

$$\delta z_{t+\delta t}^{b_k} = \delta z_t^{b_k} + \delta \dot{z}_t^{b_k} \delta t = (I + F_t \delta t) \delta z_t^{b_k} + (G_t \delta t) n_t = F \delta z_t^{b_k} + V n_t \quad (26)$$

这里 $F = I + F_t \delta t$, $V = G_t \delta t$ 。值得一提的是上式给出了对非线性系统的线性化过程，这意味着下一时刻IMU状态的误差与当前时刻IMU状态的误差成线性关系，我们可以根据当前时刻预测下一时刻状态的均值和协方差。上式给出的是误差均值的预测，下面给出误差的协方差预测：

$$P_{t+\delta t}^{b_k} = (I + F_t \delta t) P_t^{b_k} (I + F_t \delta t)^T + (G_t \delta t) Q (G_t \delta t)^T \quad (27)$$

上式给出了误差协方差的迭代公式，初始值 $P_{b_k}^{b_k} = 0$ 。其中 Q 表示噪声项的对角协方差矩阵，参考《四元数数学基础》5.4.3节内容：

$$Q^{12 \times 12} = \begin{vmatrix} \sigma_a^2 & 0 & 0 & 0 \\ 0 & \sigma_w^2 & 0 & 0 \\ 0 & 0 & \sigma_{b_a}^2 & 0 \\ 0 & 0 & 0 & \sigma_{b_w}^2 \end{vmatrix} \quad (28)$$

与此同时，IMU状态误差 $\delta z_{b_{k+1}}^{b_k}$ 的一阶雅各比 $J_{b_{k+1}}$ 也可以利用式（26）类似的方式迭代：

$$J_{t+\delta t} = (I + F_t \delta t) J_t \quad (29)$$

式（20）中IMU状态误差关于bias的线性化过程中的雅各比 $J_{b_a}^\alpha$ 是 $J_{b_{k+1}}$ 的一个子块，对应 $\frac{\delta \alpha_{b_{k+1}}^{b_k}}{\delta b_{a_k}}$ 。其余的雅各比子块也是类似的意义。

2.3 离散时间下的误差动力学

这里我们同样使用中值法积分处理离散情形。根据上一节的内容，我们可以知道：

2.3.1 方向误差的导数连续形式为：

$$\delta \dot{\theta}_t^{b_k} = -[\hat{w}_t - b_{w_t}]_\times \delta \theta_t - \delta b_{w_t} - n_w \quad (30)$$

则中值法离散形式为：

$$\delta \theta_i = -\left[\frac{\hat{w}_i + \hat{w}_{i+1}}{2} - b_{w_i}\right]_\times \delta \theta_i - \frac{n_{w_i} + n_{w_{i+1}}}{2} - \delta b_{w_i} \quad (31)$$

由此根据导数定义可得：

$$\delta \theta_{i+1} = [I - \left[\frac{\hat{w}_i + \hat{w}_{i+1}}{2} - b_{w_i}\right]_\times \delta t] \delta \theta_i - \delta t \frac{n_{w_i} + n_{w_{i+1}}}{2} - \delta t \delta b_{w_i} \quad (32)$$

令：

$$\begin{aligned} f_{11} &= I - \left[\frac{\hat{w}_i + \hat{w}_{i+1}}{2} - b_{w_i}\right]_\times \delta t \\ v_{11} &= v_{13} = -\frac{\delta t}{2} \\ f_{14} &= -\delta t \end{aligned}$$

2.3.2 速度误差的导数连续形式为：

$$\delta \dot{\beta}_t^{b_k} = -R_t^{b_k} [\hat{a}_t - b_{a_t}]_\times \delta \theta_t - R_t^{b_k} \delta b_{a_t} - R_t^{b_k} n_a \quad (33)$$

则中值法离散形式为：

$$\begin{aligned}\delta\dot{\beta}_i = & -\frac{1}{2}R_i[\hat{a}_i - b_{a_i}]_{\times}\delta\theta_i - \frac{1}{2}R_{i+1}[\hat{a}_{i+1} - b_{a_i}]_{\times}\delta\theta_{i+1} - \frac{1}{2}(R_i + R_{i+1})\delta b_{a_i} \\ & -\frac{1}{2}R_i n_{a_i} - \frac{1}{2}R_{i+1} n_{a_{i+1}}\end{aligned}\quad (34)$$

将式（32）代入上式可得：

$$\begin{aligned}\delta\dot{\beta}_i = & -\frac{1}{2}R_i[\hat{a}_i - b_{a_i}]_{\times}\delta\theta_i - \frac{1}{2}R_{i+1}[\hat{a}_{i+1} - b_{a_i}]_{\times} \\ & \{[I - [\frac{\hat{w}_i + \hat{w}_{i+1}}{2} - b_{w_i}]_{\times}\delta t]\delta\theta_i - \frac{n_{w_i} + n_{w_{i+1}}}{2}\delta t - \delta b_{w_i}\delta t\} \\ & -\frac{1}{2}(R_i + R_{i+1})\delta b_{a_i} - \frac{1}{2}R_i n_{a_i} - \frac{1}{2}R_{i+1} n_{a_{i+1}}\end{aligned}$$

继续整理：

$$\begin{aligned}\delta\dot{\beta}_i = & \{-\frac{1}{2}R_i[\hat{a}_i - b_{a_i}]_{\times} - \frac{1}{2}R_{i+1}[\hat{a}_{i+1} - b_{a_i}]_{\times}[I - [\frac{\hat{w}_i + \hat{w}_{i+1}}{2} - b_{w_i}]_{\times}\delta t]\}\delta\theta \\ & +\frac{1}{4}R_{i+1}[\hat{a}_{i+1} - b_{a_i}]_{\times}(n_{w_i} + n_{w_{i+1}})\delta t + \frac{1}{2}R_{i+1}[\hat{a}_{i+1} - b_{a_i}]_{\times}\delta b_{w_i}\delta t \\ & -\frac{1}{2}(R_i + R_{i+1})\delta b_{a_i} - \frac{1}{2}R_i n_{a_i} - \frac{1}{2}R_{i+1} n_{a_{i+1}}\end{aligned}$$

根据导数定义可得：

$$\begin{aligned}\delta\beta_{i+1} = & \delta\beta_i + f_{21}\delta\theta_i - \frac{1}{2}(R_i + R_{i+1})\delta t\delta b_{a_i} + f_{24}\delta b_{w_i} \\ & -\frac{1}{2}R_i\delta t n_{a_i} - \frac{1}{2}R_{i+1}\delta t n_{a_{i+1}} + v_{21}n_{w_i} + v_{23}n_{w_{i+1}}\end{aligned}\quad (35)$$

令：

$$f_{21} = -\frac{1}{2}R_i[\hat{a}_i - b_{a_i}]_{\times}\delta t - \frac{1}{2}R_{i+1}[\hat{a}_{i+1} - b_{a_i}]_{\times}[I - [\frac{\hat{w}_i + \hat{w}_{i+1}}{2} - b_{w_i}]_{\times}\delta t]\delta t$$

$$f_{22} = I$$

$$f_{23} = -\frac{1}{2}(R_i + R_{i+1})\delta t$$

$$f_{24} = \frac{1}{2}R_{i+1}[\hat{a}_{i+1} - b_{a_i}]_{\times}\delta t^2$$

$$v_{20} = -\frac{1}{2}R_i\delta t$$

$$v_{21} = v_{23} = \frac{1}{4}R_{i+1}[\hat{a}_{i+1} - b_{a_i}]_{\times}\delta t^2$$

$$v_{22} = -\frac{1}{2}R_{i+1}\delta t$$

2.3.3 位置误差导数的连续形式：

$$\delta\dot{\alpha}_t^{b_k} = \delta\beta_t^{b_k} \quad (36)$$

则中值法离散形式为：

$$\delta\dot{\alpha}_i = \frac{1}{2}\delta\beta_i + \frac{1}{2}\delta\beta_{i+1} \quad (37)$$

将式（35）代入上式可得：

$$\delta\dot{\alpha}_i = \delta\beta_i + \frac{1}{2}f_{21}\delta\theta_i - \frac{1}{4}(R_i + R_{i+1})\delta t\delta b_{a_i} + \frac{1}{2}f_{24}\delta b_{w_i}$$

$$-\frac{1}{4}R_i\delta tn_{a_i} - \frac{1}{4}R_{i+1}\delta tn_{a_{i+1}} + \frac{1}{2}v_{21}n_{w_i} + \frac{1}{2}v_{23}n_{w_{i+1}} \quad (38)$$

根据导数定义：

$$\delta\alpha_{i+1} = \delta\alpha_i + \delta t\delta\beta_i + \frac{1}{2}f_{21}\delta t\delta\theta_i - \frac{1}{4}(R_i + R_{i+1})\delta t^2\delta b_{a_i} + \frac{1}{2}f_{24}\delta t\delta b_{w_i}$$

$$-\frac{1}{4}R_i\delta t^2n_{a_i} - \frac{1}{4}R_{i+1}\delta t^2n_{a_{i+1}} + \frac{1}{2}v_{21}\delta tn_{w_i} + \frac{1}{2}v_{23}\delta tn_{w_{i+1}} \quad (39)$$

令：

$$v_{00} = -\frac{1}{4}R_i\delta t^2$$

$$v_{01} = v_{03} = \frac{\delta t}{2}v_{21}$$

$$v_{02} = -\frac{1}{4}R_{i+1}\delta t^2$$

$$f_{00} = I$$

$$f_{01} = \frac{\delta t}{2}f_{21}$$

$$f_{02} = \delta t$$

$$f_{03} = -\frac{1}{4}(R_i + R_{i+1})\delta t^2$$

$$f_{04} = \frac{\delta t}{2}f_{24}$$

根据式 (7) 可得：

$$\begin{aligned}\delta b_{a_{k+1}} &= \delta b_{a_k} + \delta t n_{b_a} \\ \delta b_{w_{k+1}} &= \delta b_{w_k} + \delta t n_{b_w}\end{aligned}$$

令：

$$\begin{aligned}f_{33} &= f_{44} = I \\ v_{34} &= v_{45} = \delta t\end{aligned}$$

由上可以写出离散时间下的误差动力学,这里交换了 β, θ ：

$$\begin{vmatrix} \delta \alpha_{i+1} \\ \delta \theta_{i+1} \\ \delta \beta_{i+1} \\ \delta b_{a_{i+1}} \\ \delta b_{w_{i+1}} \end{vmatrix} = \begin{vmatrix} f_{00} & f_{01} & f_{02} & f_{03} & f_{04} \\ 0 & f_{11} & 0 & 0 & f_{14} \\ 0 & f_{21} & f_{22} & f_{23} & f_{24} \\ 0 & 0 & 0 & f_{33} & 0 \\ 0 & 0 & 0 & 0 & f_{44} \end{vmatrix} \begin{vmatrix} \delta \alpha_i \\ \delta \theta_i \\ \delta \beta_i \\ \delta b_{a_i} \\ \delta b_{w_i} \end{vmatrix}$$

$$+ \begin{vmatrix} v_{00} & v_{01} & v_{02} & v_{03} & 0 & 0 \\ 0 & v_{11} & 0 & v_{13} & 0 & 0 \\ v_{20} & v_{21} & v_{22} & v_{23} & 0 & 0 \\ 0 & 0 & 0 & 0 & v_{34} & 0 \\ 0 & 0 & 0 & 0 & 0 & v_{45} \end{vmatrix} \begin{vmatrix} n_{a_i} \\ n_{w_i} \\ n_{a_{i+1}} \\ n_{w_{i+1}} \\ n_{b_a} \\ n_{b_w} \end{vmatrix} \quad (40)$$

2.4 离散时间下误差的协方差及雅各比

将式（40）简写为：

$$\delta z_{i+1}^{15 \times 1} = F^{15 \times 15} \delta z_i^{15 \times 1} + V^{15 \times 18} n_i^{18 \times 1} \quad (41)$$

则雅各比的迭代公式为：

$$J_{i+1}^{15 \times 15} = FJ_i \quad (42)$$

协方差的预测为：

$$P_{i+1}^{15 \times 15} = FP_iF^T + VQV^T \quad (43)$$

其中初始值 $P_i = 0$ 。 Q 为表示噪声项的对角协方差矩阵：

$$Q^{18 \times 18} = \begin{vmatrix} \sigma_a^2 & 0 & 0 & 0 & 0 & 0 \\ 0 & \sigma_w^2 & 0 & 0 & 0 & 0 \\ 0 & 0 & \sigma_a^2 & 0 & 0 & 0 \\ 0 & 0 & 0 & \sigma_w^2 & 0 & 0 \\ 0 & 0 & 0 & 0 & \sigma_{b_a}^2 & 0 \\ 0 & 0 & 0 & 0 & 0 & \sigma_{b_w}^2 \end{vmatrix} \quad (44)$$